

Využití zlomkových stochastických procesů pro analýzu signálu a časových řad

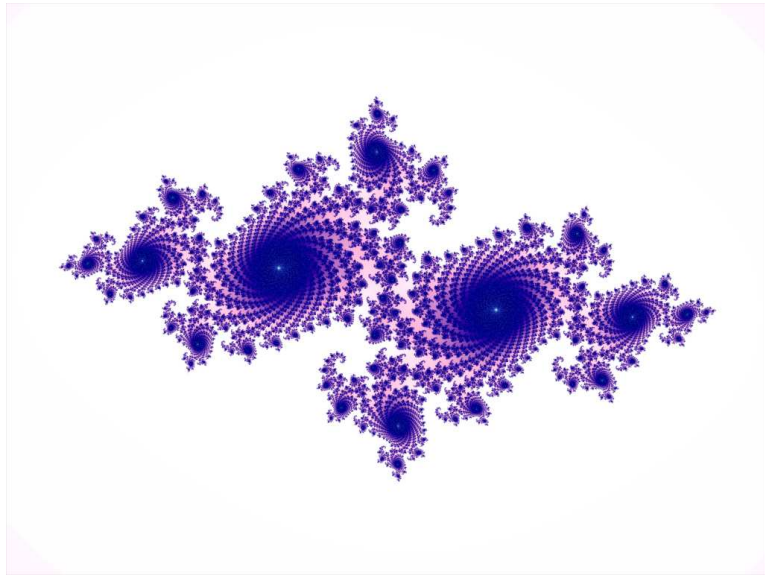
Seminář strojového učení a modelování

Martin Dlask (KSI FJFI)

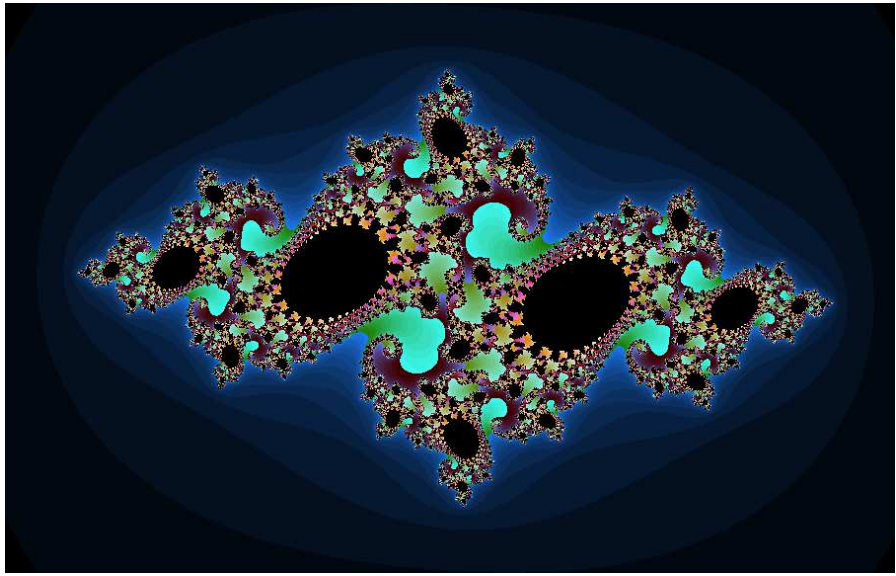
<http://people.fjfi.cvut.cz/dlaskma1/>

3. března 2016

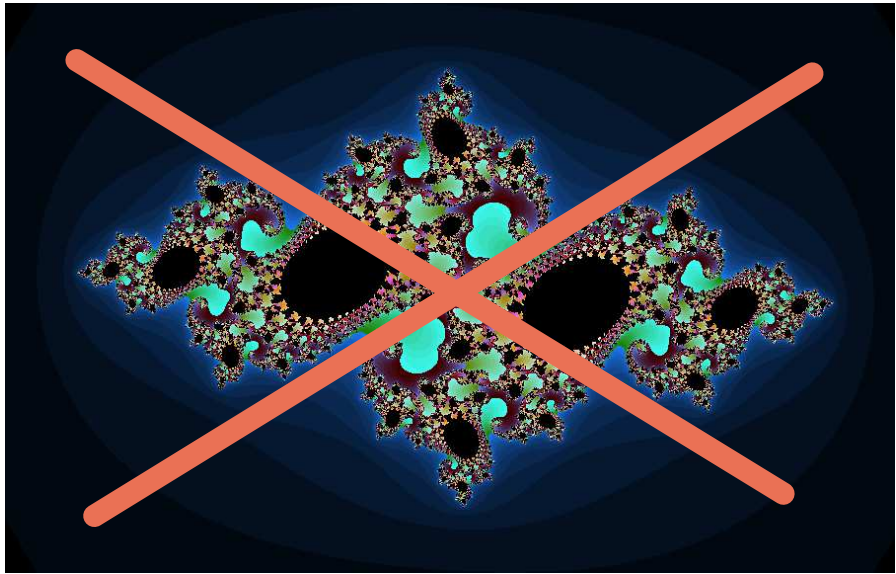
Juliova množina



Juliova množina



Juliova množina



Fraktální množiny

- Tak co jsou vlastně fraktály? (pokud ne jen barevné obrázky)

Fraktální množiny

- Tak co jsou vlastně fraktály? (pokud ne jen barevné obrázky)
 - množiny s neceločíselnou dimenzí

Fraktální množiny

- Tak co jsou vlastně fraktály? (pokud ne jen barevné obrázky)
→ množiny s neceločíselnou dimenzí

Fraktální množiny

- Tak co jsou vlastně fraktály? (pokud ne jen barevné obrázky)
→ množiny s neceločíselnou dimenzí

úsečka v \mathbb{R}^2



dimenze = 1

čtverec v \mathbb{R}^2



dimenze = 2

Fraktální množiny

- Tak co jsou vlastně fraktály? (pokud ne jen barevné obrázky)
→ množiny s neceločíselnou dimenzí

úsečka v \mathbb{R}^2



dimenze = 1

Co je
zde?

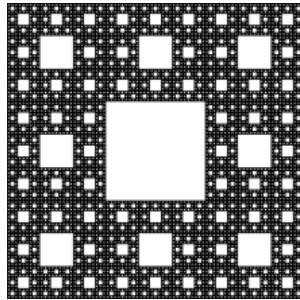
čtverec v \mathbb{R}^2



dimenze = 2

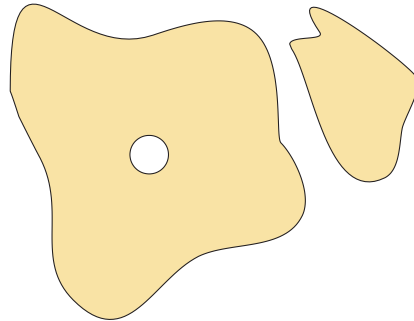
Fraktální množiny

- množina je charakterizována svojí
 - mírou
 - fraktální dimenzi - Hausdorffova dimenze



Fraktální množiny

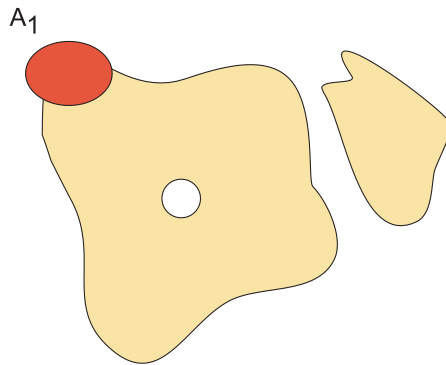
- δ -pokrytí množiny $F \subset \mathbb{R}^n$



množina v \mathbb{R}^2

Fraktální množiny

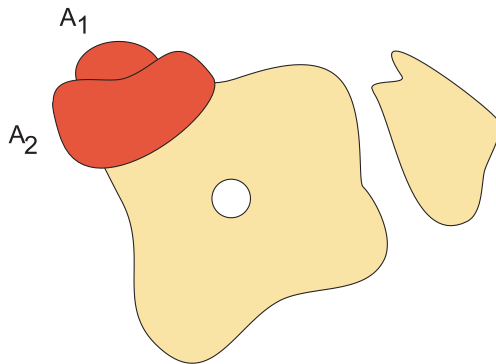
- δ -pokrytí množiny $F \subset \mathbf{R}^n$



množina v \mathbf{R}^2

Fraktální množiny

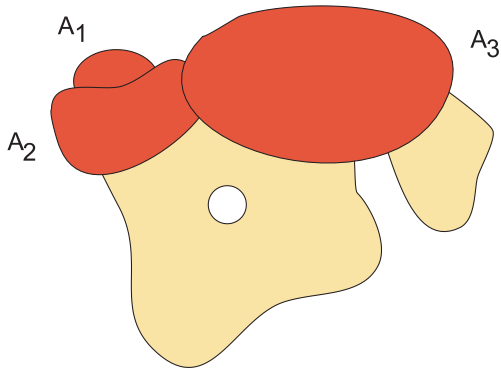
- δ -pokrytí množiny $F \subset \mathbb{R}^n$



množina v \mathbb{R}^2

Fraktální množiny

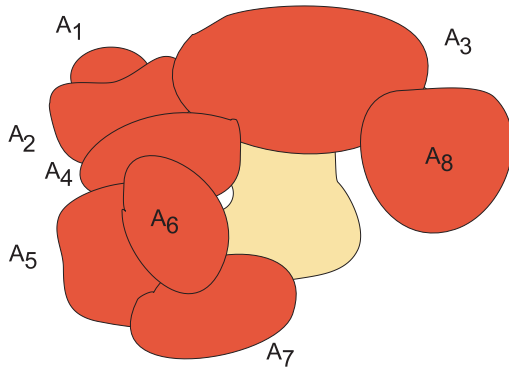
- δ -pokrytí množiny $F \subset \mathbf{R}^n$



množina v \mathbf{R}^2

Fraktální množiny

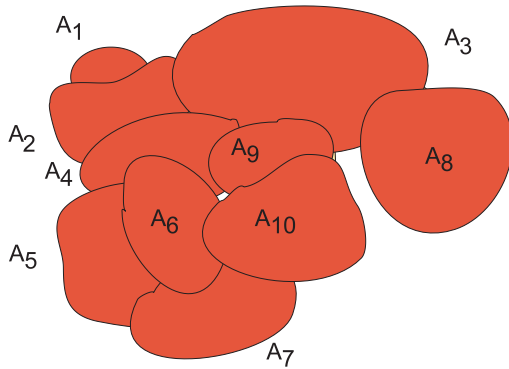
- δ -pokrytí množiny $F \subset \mathbb{R}^n$



množina v \mathbb{R}^2

Fraktální množiny

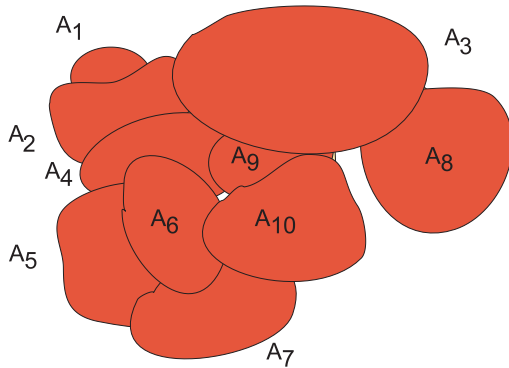
- δ -pokrytí množiny $F \subset \mathbb{R}^n$



množina v \mathbb{R}^2

Fraktální množiny

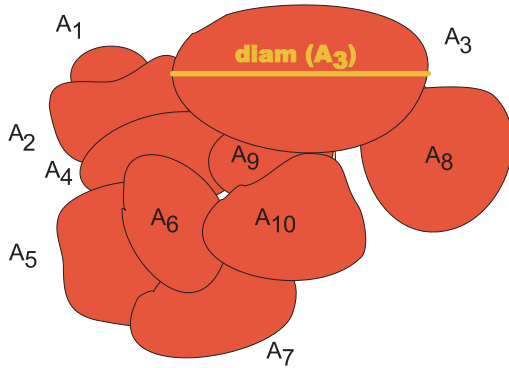
- δ -pokrytí množiny $F \subset \mathbf{R}^n$



množina v \mathbf{R}^2

Fraktální množiny

- δ -pokrytí množiny $F \subset \mathbf{R}^n$



množina v \mathbf{R}^2

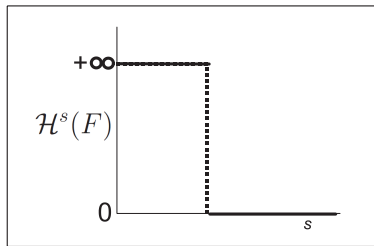
Hausdorffova míra a dimenze

- Hausdorffova s -rozměrná míra množiny $F \subset \mathbb{R}^n$

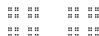
$$\mathcal{H}^s(F) = \liminf_{\delta \rightarrow 0} \left\{ \sum_{i=1}^{+\infty} (\text{diam}(A_i))^s : (A_i) \text{ je } \delta\text{-pokrytí množiny } F \right\}$$

- Hausdorffova dimenze

$$\dim_H(F) = \sup \{s : \mathcal{H}^s(F) = +\infty\}$$

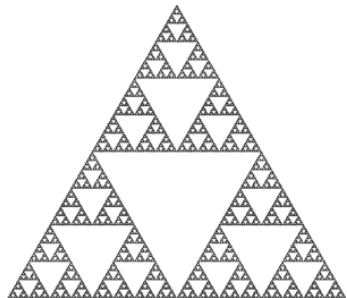


Fraktální množiny



Cantorův prach

$$\dim_H(C) = \log(4)/\log(3)$$



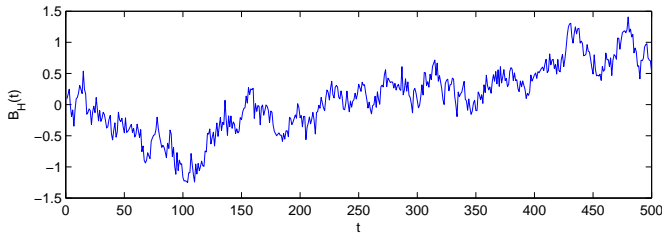
Sierpinského trojúhelník

$$\dim_H(S) = \log(3)/\log(2)$$

Zlomkový Brownův pohyb

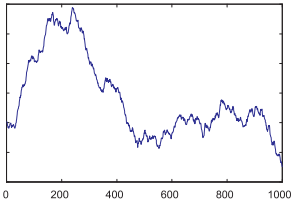
- zlomkový Brownův pohyb $B_H(t)$ - spojitý gaussovský proces
- definovaný na intervalu $\langle 0; +\infty \rangle$
- je závislý na parametru $H \in (0; 1)$
- $\dim_H(B_H(t)) = 2 - H$
- autokovarianční funkce

$$\text{cov}(B_H(t), B_H(s)) = \frac{\sigma^2}{2} \left(|t|^{2H} + |s|^{2H} + |t - s|^{2H} \right)$$

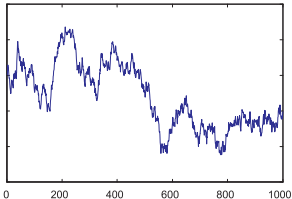


Zlomkový Brownův pohyb

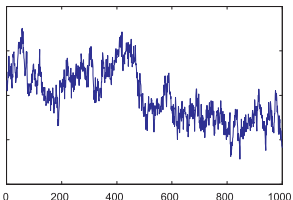
Zlomkový Brownův pohyb - spojitý proces



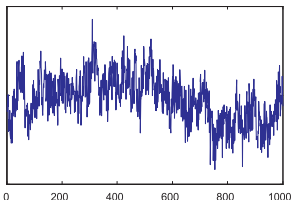
dimenze = 1,25



dimenze = 1,50



dimenze = 1,75

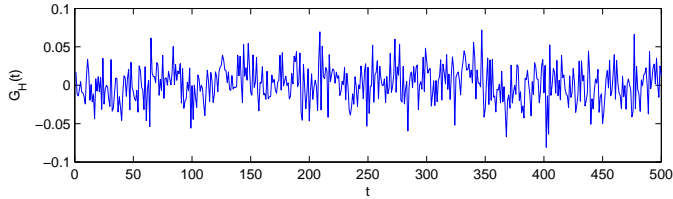


dimenze = 1,90

Zlomkový Gaussův šum

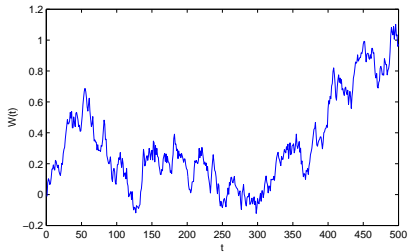
- zlomkový Gaussův šum $G_H(t)$ - spojitý gaussovský proces
- definovaný na intervalu $(0; +\infty)$
- je závislý na parametru $H \in (0; 1)$
- $\dim_H(G_H(t)) = 2$
- autokovarianční funkce

$$\text{cov}(G_H(t), G_H(t+k)) = \frac{\sigma^2}{2} \left(|k+1|^{2H} - 2 \cdot |k|^{2H} + |k-1|^{2H} \right)$$

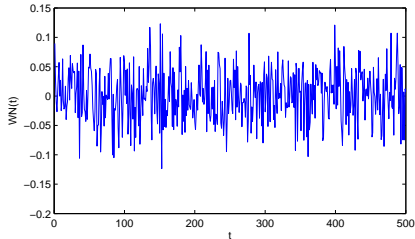


Speciální případy pro $H=0,5$

- zlomkový Brownův pohyb pro $H = 0,5 \rightarrow$ Wienerův proces

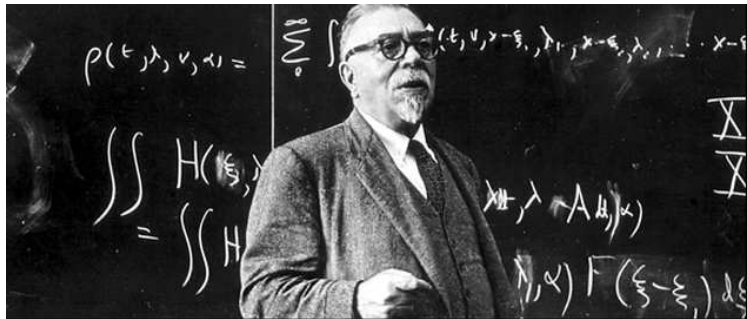


- zlomkový Gaussův šum pro $H = 0,5 \rightarrow$ bílý šum



Speciální případy pro H=0,5

- Wienerův proces
- jeho difference - bílý šum (short memory)



Norbert Wiener

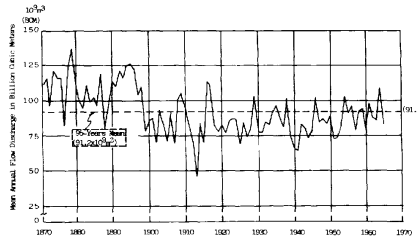
Vlastnosti zlomkového Brownova pohybu

parametr H	fraktál	závislost přírůstků
$H = 1$	ne	ano
$H = 0,5$	ano	ne
$H = 0$	ano	ano

Hurstův exponent

$$D = 2 - H$$

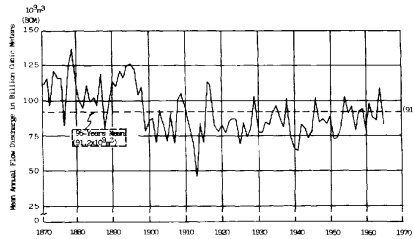
$D \dots$ Hausdorffova dimenze
 $H \dots$ Hurstův exponent



Hurstův exponent

$$D = 2 - H$$

$D \dots$ Hausdorffova dimenze
 $H \dots$ Hurstův exponent



Metoda R/S

x_1	x_2	x_3	x_4	x_5	x_6	x_7	x_8	x_9	x_{10}	x_{11}	x_{12}	x_{13}	x_{14}	x_{15}	x_{16}	x_{17}	x_{18}	x_{19}	x_{29}
-------	-------	-------	-------	-------	-------	-------	-------	-------	----------	----------	----------	----------	----------	----------	----------	----------	----------	----------	----------

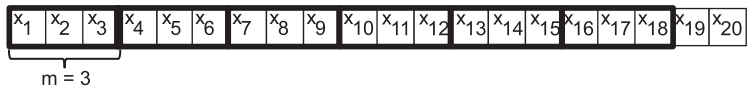
- R ... rozsah (range)
 - S ... směrodatná odchylka (std)
 - m ... velikost segmentu
- ① výpočet střední hodnoty R/S v každém segmentu

$$(R/S)_m = \frac{1}{r} \sum_{j=1}^r \frac{R_j}{S_j},$$

- ② použití regresního modelu

$$E[(R/S)] \propto m^H.$$

Metoda R/S



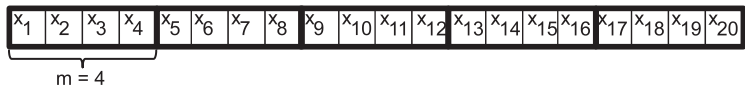
- R ... rozsah (range)
 - S ... směrodatná odchylka (std)
 - m ... velikost segmentu
- ① výpočet střední hodnoty R/S v každém segmentu

$$(R/S)_m = \frac{1}{r} \sum_{j=1}^r \frac{R_j}{S_j},$$

- ② použití regresního modelu

$$E[(R/S)] \propto m^H.$$

Metoda R/S



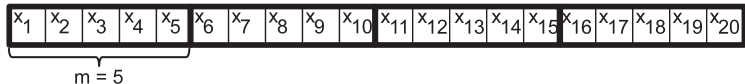
- R ... rozsah (range)
 - S ... směrodatná odchylka (std)
 - m ... velikost segmentu
- ① výpočet střední hodnoty R/S v každém segmentu

$$(R/S)_m = \frac{1}{r} \sum_{j=1}^r \frac{R_j}{S_j},$$

- ② použití regresního modelu

$$E[(R/S)] \propto m^H.$$

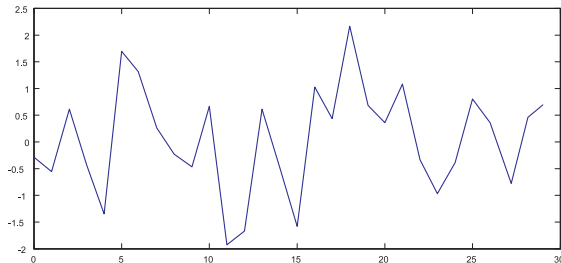
Metoda R/S



- R ... rozsah (range)
 - S ... směrodatná odchylka (std)
 - m ... velikost segmentu
- ① výpočet střední hodnoty R/S v každém segmentu
- $$(R/S)_m = \frac{1}{r} \sum_{j=1}^r \frac{R_j}{S_j},$$
- ② použití regresního modelu

$$E[(R/S)] \propto m^H.$$

Metoda průchodů nulou (zero-crossing)



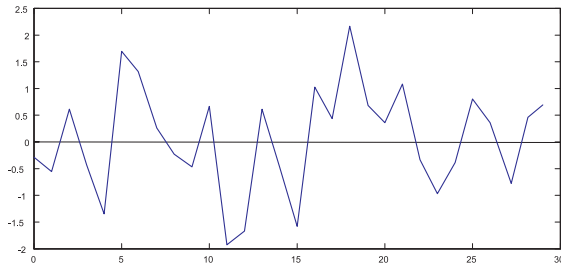
- ① výpočet pravděpodobnosti průchodu nulou

$$p^* = \frac{\text{počet průsečíků}}{\text{počet dat}}$$

- ② výpočet bodového odhadu H

$$H = 1 + \log_2 \cos \frac{\pi p^*}{2}$$

Metoda průchodů nulou (zero-crossing)



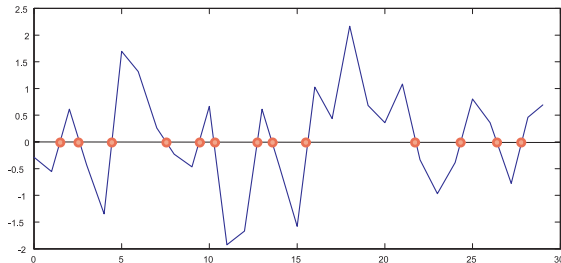
- ① výpočet pravděpodobnosti průchodu nulou

$$p^* = \frac{\text{počet průsečíků}}{\text{počet dat}}$$

- ② výpočet bodového odhadu H

$$H = 1 + \log_2 \cos \frac{\pi p^*}{2}$$

Metoda průchodů nulou (zero-crossing)



- ① výpočet pravděpodobnosti průchodu nulou

$$p^* = \frac{\text{počet průsečíků}}{\text{počet dat}}$$

- ② výpočet bodového odhadu H

$$H = 1 + \log_2 \cos \frac{\pi p^*}{2}$$

Vylepšená metoda průchodů nulou (zero-crossing revisited)

- bodový odhad Hurstova exponentu H za předpokladu známé pravděpodobnosti p^*

$$H = 1 + \log_2 \cos \frac{\pi p^*}{2}$$

- počet průchodů nulou Z ve vzorku délky N se řídí binomickým rozdělením

$$f(Z|p^*) = \binom{N}{Z} (p^*)^Z \cdot (1 - p^*)^{N-Z}$$

- po použití Bayesovské inverze má pravděpodobnost průchodů nulou Beta-rozdělení

$$f_{\text{POST}}(p^*|Z) = \frac{(p^*)^{Z-\alpha} (1-p^*)^{N-Z-\alpha}}{\text{B}(Z+1-\alpha, N-Z+1-\alpha)}$$

Vylepšená metoda průchodů nulou (zero-crossing revisited)

- po rozdělení časové řady na L částí (v každé části je Z_k průchodů nulou) můžeme vypočítat agregovanou hustotu pravděpodobnosti

$$f_L(p) = \frac{1}{L} \sum_{k=1}^L \frac{p^{Z_k-\alpha}(1-p)^{N-\alpha-Z_k}}{\text{B}(Z_k+1-\alpha, N-Z_k+1-\alpha)}$$

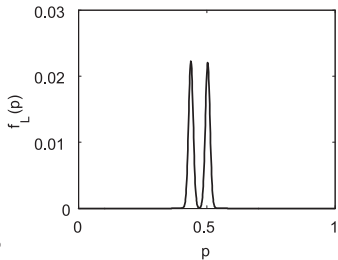
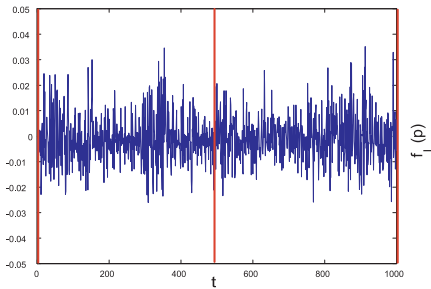
- ideální rozdělení (**optimální segmentace**) je na L^* dílů

$$L^* = \begin{cases} 1, & \text{když } f_L(p) \text{ je jednovrcholová pro všechna } L \\ \min \{L > 1 : f_L(p) \text{ je jednovrcholová}\}, & \text{jinak} \end{cases}$$

- dělíme signál na jemnější segmenty do té doby, dokud není agregovaná hustota pravděpodobnosti $f_L(p)$ jednovrcholová

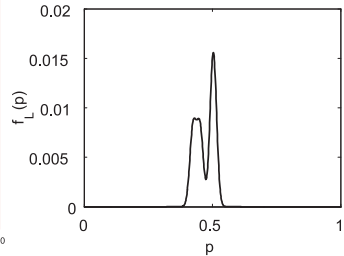
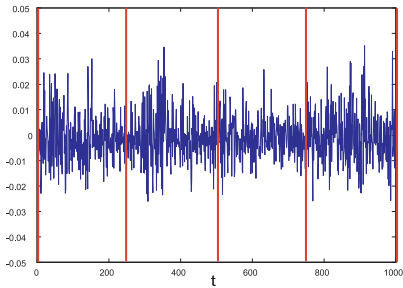
Vizualizace optimální segmentace

$$L = 2$$



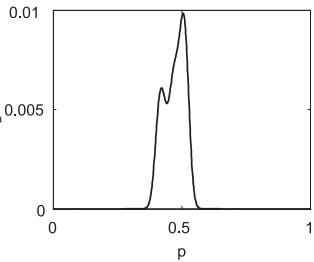
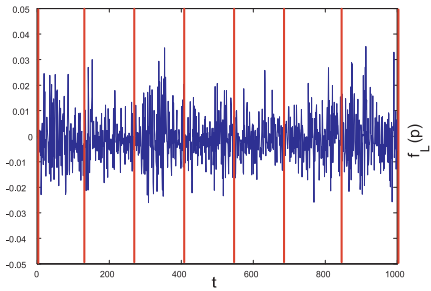
Vizualizace optimální segmentace

$$L = 4$$



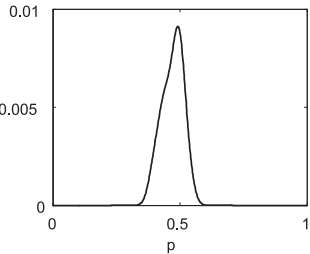
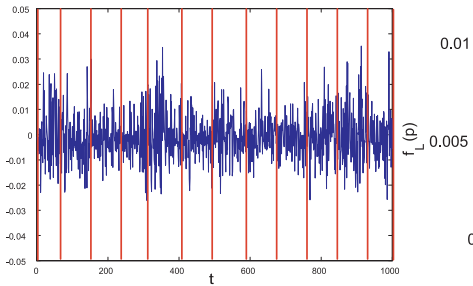
Vizualizace optimální segmentace

$$L = 7$$



Vizualizace optimální segmentace

$$L = 12$$



Vylepšená metoda průchodů nulou (zero-crossing revisited)

- výpočet Hurstova exponentu

$$E(H) = 1 + \int_0^1 f_{L*}(p) \log_2 \cos \frac{p\pi}{2} dp$$

tradiční metoda	nová metoda
bodový odhad H	střední hodnota a konfidenční intervaly
pravděpodobnost průchodu nulou je nahrazena relativní četností	pravděpodobnost průchodů nulou má Beta-rozdělení
pojímá signál jako celek	využívá bayesovského přístupu a segmentace signálu
absence konfidenčního intervalu	realistický konfidenční interval



Aplikace fraktální teorie

Aplikace fraktální teorie

Použití Hurstova exponentu:

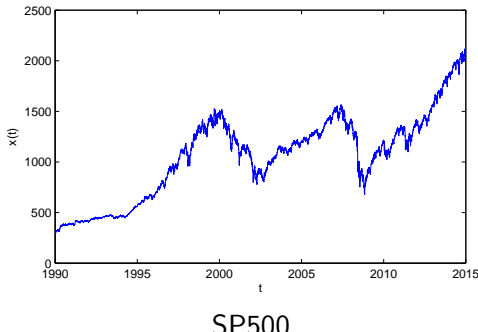
- ① test generátoru náhodných čísel - nejjednodušší použití
- ② ekonomie - závislost vývoje časových řad (indexy akciových trhů)
- ③ biomedicína - detekce Alzheimerovy choroby ze signálu EEG
- ④ IT - vytížení počítačových sítí z hlediska množství dat
- ⑤ hydrologie - analýza průtoků vodních toků
- ⑥ hudba - klasifikace hudebních žánrů

Ekonomie - měření závislosti a predikování časových řad



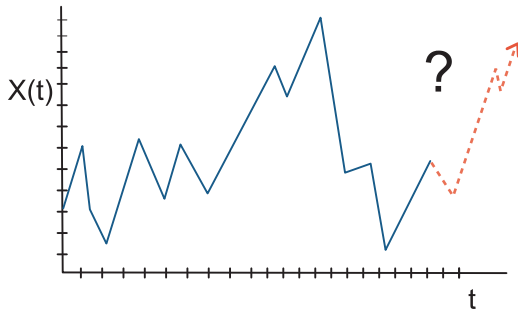
Ekonomie - měření závislosti a predikování časových řad

- použití nové metodiky pro odhad Hurstova exponentu
- data z období 1991 - 2015
- zkoumané indexy akciových trhů:
 - Evropa - CAC40, DAX, FTSE, SMI
 - Asie - HSI, NIKKEI
 - Severní Amerika - SP500, NASDAQ, TSX
- zkoumány jejich logaritmické diference (za předpokladu fGn)



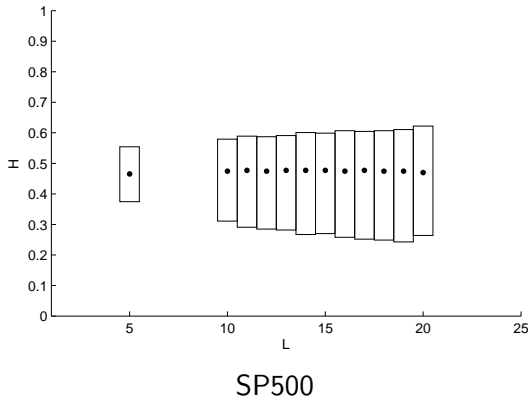
Ekonomie - měření závislosti a predikování časových řad

- míra závislosti časové řady je dána Hurstovým exponentem
- časová řada je predikovatelná, když je Hurstův exponent větší než 0,5
- použití nástroje pro zlomkové modelování časových řad (ARFIMA)



Ekonomie - měření závislosti a predikování časových řad

- ekonomické časové řady jsou obtížně predikovatelné
- většinou je Hurstův exponent blízký 0,5
- u více závislých časových řad je zapotřebí malý počet dělení



Ekonomie - měření závislosti a predikování časových řad

index	L^*	EH	95% CI
CAC40	5	0.4652	(0.3746;0.5545)
DAX	1	0.4790	(0.4556;0.5023)
FTSE	3	0.4863	(0.4361;0.5482)
HSI	1	0.4974	(0.4746;0.5201)
NASDAQ	14	0.5418	(0.4008;0.7136)
NIKKEI	3	0.4532	(0.4034;0.5068)
SMI	1	0.5087	(0.4863;0.5310)
SP500	6	0.4460	(0.3225;0.5628)
TSX	12	0.5607	(0.3957;0.6992)

Optimální segmentace a konfidenční intervaly

ARFIMA modely

- B ... operátor posunutí

$$B^i(X_t) = X_{t-i}$$

- ARMA(p,q) model

$$\left(1 - \sum_{i=1}^p \phi_i B^i\right) X_t = \left(1 + \sum_{i=1}^q \theta_i B^i\right) e_t$$

- ARIMA(p,d,q) model, kde $p \in \mathbb{N}$

$$\left(1 - \sum_{i=1}^p \phi_i B^i\right) (1 - B)^d X_t = \left(1 + \sum_{i=1}^q \theta_i B^i\right) e_t$$

ARFIMA modely

- ARFIMA(p,d,q) model, kde $d \in (0, 1)$

$$\left(1 - \sum_{i=1}^p \phi_i B^i\right) (1 - B)^d X_t = \left(1 + \sum_{i=1}^q \theta_i B^i\right) e_t$$

- má stejný zápis jako ARIMA s rozdílem, že

$$(1 - B)^d = \sum_{k=0}^{\infty} \binom{d}{k} (-B)^k = 1 - d \cdot B + \frac{d(d-1)}{2!} B^2 - \dots$$

- parametr d vypočteme z Hurstova exponentu H jako

$$d = H - 1/2$$

Biomedicína - diagnostika Alzheimerovy choroby z EEG

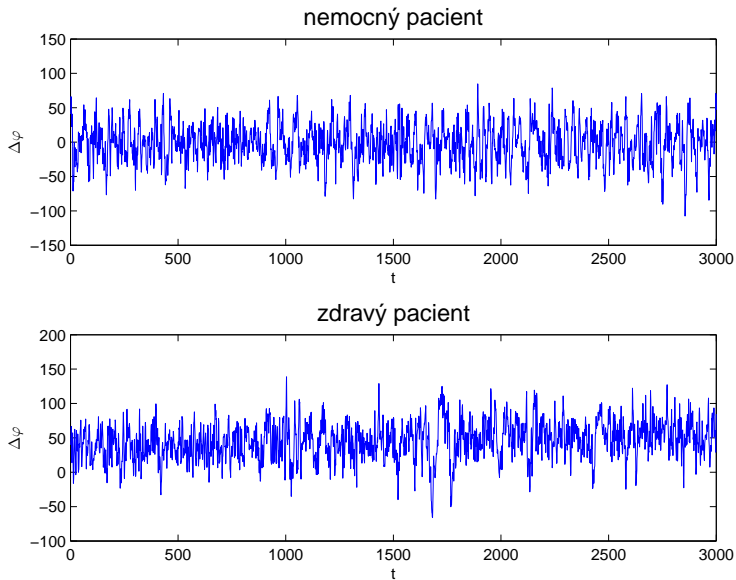


Biomedicína - diagnostika Alzheimerovy choroby z EEG

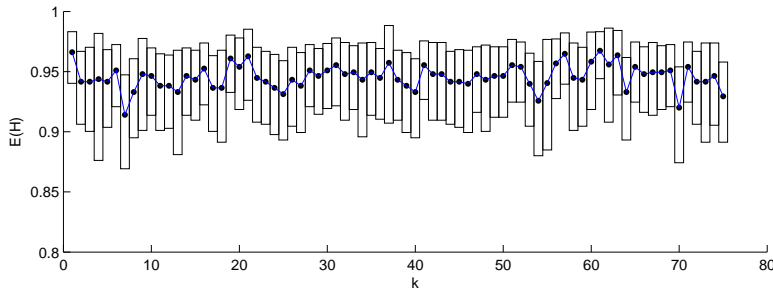
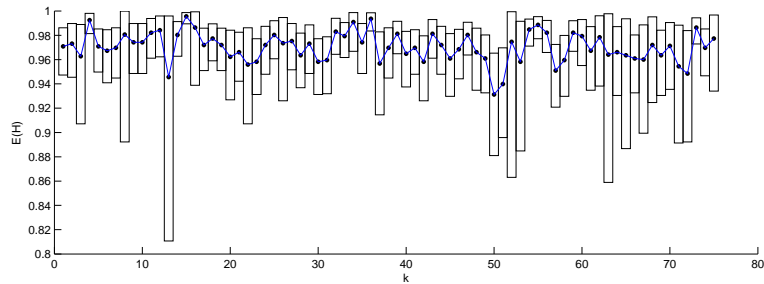
- analýza 19 kanálů EEG
- rozdílný Hurstův exponent zdravých subjektů a pacientů trpících Alzheimerovou demencí
 - zdravý člověk (CN) - nižší hodnoty H
 - nemocný člověk (AD) - vyšší hodnoty H
- nalezeny významné rozdíly mezi oběma skupinami
- nemoc se u každého projevuje různě
- metodika zatím neumožňuje přesně určit, jestli konkrétní pacient nemocí trpí



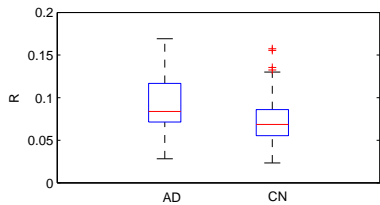
Biomedicína - diagnostika Alzheimerovy choroby z EEG



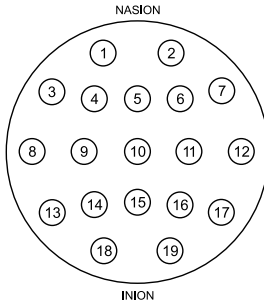
Biomedicína - diagnostika Alzheimerovy choroby z EEG



rozsah (*range*) Hurstova exponentu u nemocných (AD) a zdravých (CN) pacientů na druhém kanálu



největší rozdíly většinou nastávají na druhém, třetím a sedmém kanálu



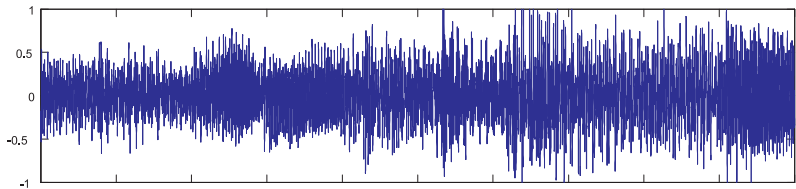
Aplikace na hudební záznam



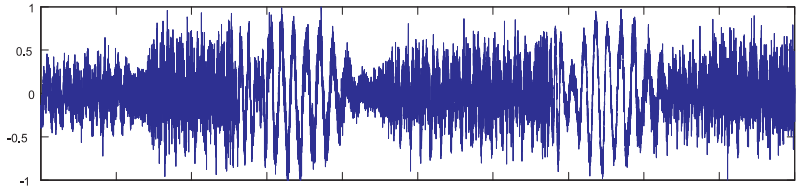
Aplikace na hudební záznam

- jaký hudební styl reprezentuje každý ze zvukových signálů?
- jaký je jejich Hurstův exponent?

ukázka 1:

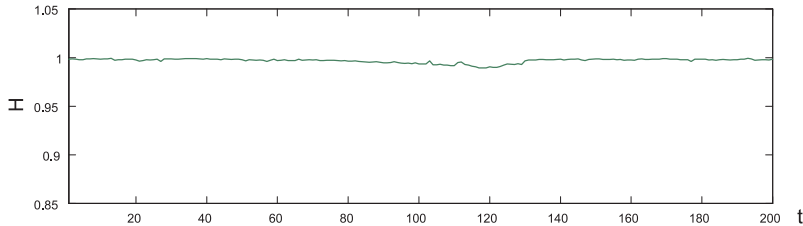


ukázka 2:

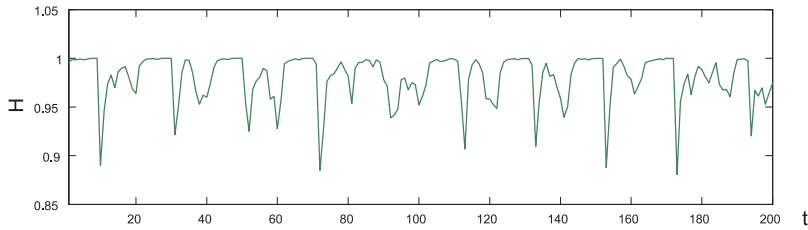


Aplikace na hudební záznam

vážná hudba:

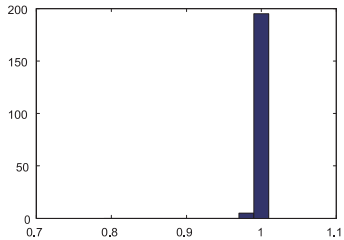


electro-house:

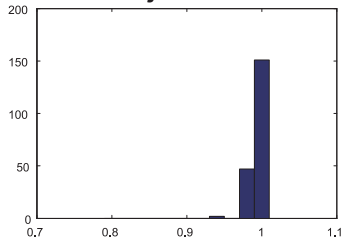


Aplikace na hudební záznam

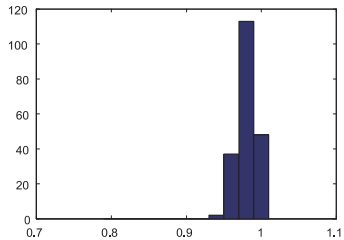
vážná hudba:



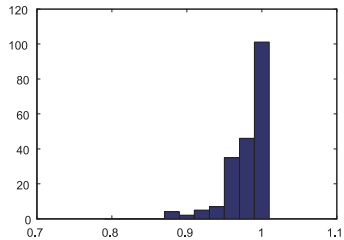
jazz:



rock:



electro-house:



Závěr



vs.



Díky za pozornost! ;)